



## چکیده

علی اصغر قریشی\*، مهری اصفهانیان

بابل، دانشگاه مازندران، مجتمع فنی و مهندسی بابل، صندوق پستی ۴۸۴

دریافت: ۸۶/۰۴/۲۴، پذیرش: ۸۶/۰۷/۰۸

جداسازی اولفین‌ها از پارافین‌ها یکی از مهم‌ترین فرایندهای صنعتی پتروشیمی است که در حال حاضر به کمک فرایندهای انرژی‌برای پیچیده انجام می‌پذیرد. در این راستا فرایندهای جداسازی غشایی موردن توجه قرار گرفته‌اند. از این‌رو، توسعه یک مدل عمومی که به وسیله آن بتوان پدیده‌های انتقال اجزا را از میان غشا تفسیر کرد، نقشی اساسی در طراحی و کاربرد این فرایندها ایفا می‌کند. بررسی‌های نشان می‌دهد، غشاهای پلیمری به ویژه پلیمرهای شیشه‌ای در جداسازی اولفین‌ها از پارافین‌ها خواص نسبتاً مطلوبی دارند. در این مطالعه، رفتار و جداسازی مخلوط‌های اولفینی - پارافینی به وسیله غشاهای پلیمر شیشه‌ای به سه روش مدل دوجذبی، مدل کلاسیک جذب - نفوذ و فرمول بنده استقان - ماکسول FDA-6FpDA-6FpDA مدل‌سازی شد. سامانه‌های انتخاب شده برای بررسی صحت مدل‌های انتقال، جداسازی مخلوط اتان و اتیلن با غشای پلی‌آمید و مخلوط پروپان و پروپیلن با غشای پلی‌آمید TrMPD-FDA-6FpDA بوده است. نتایج نشان داد، مدل دوجذبی در هر حال قادر به پیش‌بینی درستی از عملکرد جداسازی مخلوط نیست. نتایج مدل سازی بر مبنای نظریه کلاسیک جذب - نفوذ بیانگر آن است که فقط با استفاده از داده‌های تراوایی مخلوط (نه تنها داده‌های خالص) برای تخمین ضرایب نفوذ، می‌توان نتایج رضایت‌بخشی به دست آورد که این امر مزیت پیش‌بینی عملکرد جداسازی مخلوط چندجذبی از داده‌های خالص را کم‌رنگ می‌سازد. درنهایت، مدل کلی انتقال برای مخلوط گازها از غشاهای پلیمری در چهارچوب ساز و کار استقان - ماکسول برای سامانه‌های چند جزئی ارائه شده است که در آن اثربداری شارک جزء از برهمنکش‌های ترمودینامیکی و سینتیکی بین اجزا و نیز جریان غیرگزینشی توده‌ای در داخل پلیمر لحاظ شده است. نتایج نشان می‌دهد، این مدل تنها با استفاده از داده‌های جذب و تراوایی اجزای خالص می‌تواند عملکرد جداسازی مخلوط را بر حسب میزان تراوایی و گزینش‌پذیری به خوبی توصیف کند.

### واژه‌های کلیدی

مدل، جداسازی،  
غشا، اولفین،  
پارافین

\*مسئول مکاتبات، پیام نگار:

aa\_ghoreyshi@yahoo.com

## A Generic Model for Prediction of Separation Performance of Olefin/Paraffin Mixture by Glassy Polymer Membranes

A.A. Ghoreyshi\* and M. Esfahanian

University of Mazandaran, P.O. Box: 484, Babol, Iran

### Abstract

The separation of olefin/paraffin mixtures is an important process in petrochemical industries, which is traditionally performed by low temperature distillation with a high-energy consumption, or complex extractive distillation and adsorption techniques. Membrane separation process is emerging as an alternative for traditional separation processes with respect to low energy and simple operation. Investigations made by various researchers on polymeric membranes it is found that special glassy polymers render them as suitable materials for olefin/paraffin mixture separation. In this regard, having some knowledge on the possible transport mechanism of these processes would play a significant role in their design and applications. In this study, separation behavior of olefin/paraffin mixtures through glassy polymers was modeled by three different approaches: the so-called dual transport model, the basic adsorption-diffusion theory and the general Maxwell-Stefan formulation. The systems chosen to validate the developed transport models are separation of ethane-ethylene mixture by 6FDA-6FpDA polyimide membrane and propane-propylene mixture by 6FDA-TrMPD polyimide membrane for which the individual sorption and permeation data are available in the literature. A critical examination of dual transport model shows that this model fails clearly to predict even the proper trend for selectivities. The adjustment of pemeabilities by accounting for the contribution of non-selective bulk flow in the transport model introduced no improvement in the predictability of the model. The modeling results based on the basic adsorption-diffusion theory revealed that in this approach only using mixed permeability data, an acceptable result is attainable which fades out the advantages of predictability of multicomponent separation performance from pure component data. Finally, the results obtained from the model developed based on Maxwell-Stefan formulation approach show a close agreement between the predicted values and experimental data in terms of permeabilities and selectivities. The results also indicate that kinetic coupling plays no role in transport across the membrane for the systems under study and can be ignored safely. However, the equilibrium coupling shown makes a major contribution to the transport via membrane and should be considered in the transport model using a proper equilibrium sorption isotherm.

### Key Words

model, separation,  
membrane, olefin,  
paraffin

(\*) To whom correspondence should be addressed.

E-mail: aa\_ghoreyshi@yahoo.com

## مقدمه

خود اختصاص داده اند.

در حال حاضر، پلی آمیدها به ویژه ۶FDA به دلیل تراوایی و گزینش پذیری بسیار زیاد آنها در جداسازی گازها، یکی از مطلوب ترین مواد غشایی به عنوان پلیمر شیشه‌ای هستند [۱۵-۱۶]. این امر به دلیل خواص بسیار خوب آن در تسهیل پدیده انتقال است. وجود گروههای CF<sub>3</sub> نیز باعث ایجاد فاصله‌های بین مولکولی شده که این امر برای توزیع حجم آزاد پلیمر لازم است. البته، اطلاعات محدودی درباره عملکرد جداسازی اولفین و پارافین بر مبنای ۶FDA وجود دارد.

بیکل و کوروس [۸] دریافتند، گزینش پذیری ایده‌آل در ۶FDA-IPDA ۶FDA-mPD ۶FpDA و ۶FDA-۶FpDA برای مخلوط اتیلن - اتان در محدوده ۱۰-۱۶ ۳۲-۴۴ ۳۲-۴۴ و گزینش پذیری ایده‌آل برای پروپیلن - پروپان در محدوده ۱۰-۱۶ است. همچنین، تاناکا و همکاران گزینش پذیری ایده‌آل اتیلن - اتان و پروپیلن - پروپان را در ۶FDA-TrMPD به ترتیب ۲/۹ و ۱۱ گزارش کرده‌اند [۱۴]. البته قبل از TrMPD یا DAM در مواد غشایی پلی آمید استفاده می‌شد. در این حالت گروههای متیل باعث ایجاد فاصله بین مولکولی در شبکه پلیمری می‌شود. همچنین، از TAB نیز در مواد پلی پیرولیدون استفاده گردیده است [۲۰-۲۲]. این پلیمر مسطح و بسیار کاراست و باعث استحکام خوبی در شبکه پلیمری می‌شود. یک دی‌آمین دیگر با فاصله‌های مولکولی قابل توجه در شبکه پلیمری ۶FpDA است. ترکیب این مونومر با ساختار پلیمری شبیه به مونومر DAM است و بنابراین روش ساخت اضافی برای این حالت نیاز نیست. همچنین، ۳۳'DMDA نیز به شکل پلی آمید استفاده می‌شود. ساختار این مونومرها در جدول ۱ نشان داده شده است.

گزینش پذیری چند غشای پلی آمیدی دیگر نیز برای مخلوط گازها، به ویژه برای مخلوط اتیلن - اتان و پروپیلن - پروپان اندازه گیری شده است [۲۳، ۲۴]. برخی از محققان گزینش پذیری را برپایه نسبت تراوش گازهای خالص و برخی دیگر بر حسب میزان گاز عبوری در سمت تراوش یافته زیر خلاء غشا، بیان کرده‌اند. البته شایان ذکر است که در شرایط عملیاتی، کشسان شدن غشا و کاهش تراوش رخ می‌دهد که باعث کاهش گزینش پذیری می‌شود.

مطالعات اندکی نیز برای جداسازی اولفین‌ها از پارافین‌ها به وسیله پلیمرهای جامد پلی آمید بدون حامل انجام شده است. مثالی از این پلیمرها PPO (2,6-dimethyl-1,4-phenylene oxide) است که به همراه پلیمرهای دیگر در جداسازی مخلوط اولفین از پارافین به کار می‌رود [۲۵]. به عنوان مثال ضریب تراوایی برای پروپیلن با استفاده از این پلیمر در محدوده ۲-۱۲ barrer (STP)/cm.s.cmHg = ۱۰<sup>۱۰</sup> cm<sup>۳</sup> در محدوده ۲۰-۷۰ است [۲۶]. در این راستا، اکاموتو و همکاران [۲۷] نیز جداسازی و

اولفین‌های اتیلن و پروپیلن دو ماده اساسی در صنایع، به ویژه صنعت پتروشیمی هستند که زیر بنای صنعت پلاستیک است. مقادیر زیادی از اتیلن و پروپیلن به عنوان خوراک اولیه در تولید پلاستیک‌هایی مانند پلی اتیلن و پلی پروپیلن به کار می‌رود. این مواد به دلیل مقدار قابل توجه فروش و نیز کاربردهای صنعتی همواره مورد توجه بوده‌اند [۱]. بخش اعظم تولید اولفین‌ها از راه کراکینگ هیدروکربن‌های C<sub>4</sub><sup>+</sup> و در پی آن واکنش‌های هیدروژن زدایی است. تبدیل تعادلی معمول واکنش‌های هیدروژن زدایی در حدود ۵۰-۶۰ درصد است. از این‌رو، مخلوطی از اولفین‌ها - پارافین‌ها تولید می‌شود که جداسازی آنها به دلیل خواص فیزیکی مشابه بسیار مشکل است [۲، ۳]. در مطالعات اخیر Department Of Energy(DOE) ۰/۱۲Quads (هر یک Quad معادل ۱۰<sup>۱۵</sup> Btu است) انرژی برای تقطیر اولفین - پارافین استفاده می‌شود [۴]. بخش اعظم این هزینه را جداسازی اولفین از پارافین تشکیل می‌دهد که این موضوع ضرورت ارتقای فناوری جداسازی این مخلوط را مطرح ساخته است. در این راستا، فناوری جداسازی جدید با عملیات واحد سنتی به رقابت می‌پردازد.

هم اکنون، جداسازی مخلوط اولفین - پارافین به وسیله تقطیر در دمای پایین با مصرف انرژی زیاد یا فرایند‌های پیچیده تقطیر استخراجی یا جذب سطحی انجام می‌شود [۴]. بنابراین، فناوری‌های جداسازی با تکیه بر صرفه جویی انرژی از ارجحیت برخوردارند. از یک سو نشان داده شده است، جداسازی گازها با استفاده از غشا اثر بسزایی در کاهش مصرف انرژی دارد [۵-۷]. از سوی دیگر، جداسازی اولفین‌ها - پارافین‌ها، یکی از مهم ترین اهداف جداسازی غشایی است که در چند سال آینده به شکل تجاری توسعه خواهد یافت. این امر ناشی از پتانسیل رشد زیاد جداسازی غشایی با توجه به مصرف انرژی پایین و عملکرد ساده آن است [۸].

مطالعات بی‌شماری درباره استفاده از انتقال آسان شده با استفاده از غشاهای مایع یا غشاهای برپایه تبادل یونی، که شامل یون‌های نقره در ترکیب با یک عامل فعال هستند، انجام شده است [۹-۱۲]. یادآور می‌شود، این غشاهای دارای گزینش پذیری و تراوایی نسبتاً زیادی هستند. اما، به دلیل عدم پایداری مناسب کمتر مورد توجه قرار گرفته‌اند. همچنین، پلیمرهای کشسان جداسازی ناچیزی را در مخلوط‌های اولفینی - پارافینی فراهم می‌سازند. برای مثال، غشاهای لاستیک سیلیکون، پلی دی‌متیل سیلوکسان (PDMS) دارای گزینش پذیری حدود یک برای مخلوط پروپان - پروپیلن هستند [۱۳، ۱۴]. در این راستا، پلیمرهای شیشه‌ای به علت ویژگی‌های ساختاری منحصر به فرد، کاربردهای فراوانی را به عنوان غشا در فرایند‌های جداسازی گازها به

## جدول ۱- ساختار برخی موونمرها.

	4,4'-hexafluoroisopropylidene diphthalic anhydrid	6FDA
	1,2,4,5-tetraaminobenzine	TAB
	diaminomesitylene (trimethylphenylenediamine)	DAM (TrMPD)
	3,3'-dimethyl dianiline	33'DMDA
	hexafluoro-isopropylidene dianiline	6FpDA

است. سامانه‌های در نظر گرفته شده برای امتحان مدل‌های ارانه شده، با توجه به در دسترس بودن داده‌های تجربی مربوط به جذب و تراویی آنها، مخلوط اتان- اتیلن با نسبت ۵۰:۵۰ به وسیله پلیمر ۶FDA-6FpDA در دمای [۸]۳۰۸K و مخلوط پروپان- پروپیلن با نسبت ۵۰:۵۰ به وسیله پلیمر ۶FDA-TrMPD در دمای K[۱۲]۳۲۳ بوده است.

### توسعه و امتحان مدل انتقال دوجذبی

بر اساس نظریه جذب - نفوذ فرایند تراوش از میان غشا مرکب از دو مرحله جذب و نفوذ است که هر کدام از آنها در دو حالت مختلف انحلال و تراوش دوجذبی انجام می‌گیرد.

### مدل انحلال دوجذبی

مفهوم دو یا تعداد حالات بیشتر برای جذب نفوذکننده‌ها اولین بار توسط بار [۲۸] به کار گرفته شد. سپس، ساز و کار جذب به شکل نهایی آن توسط سایر محققان [۲۹] به عنوان مدل دوجذبی بیان شد. در این مدل فرض می‌شود که پلیمر شامل زنجیرهای پیوسته‌ای است که درین آنها حفره‌های ریز، به شکل ثابت وجود دارند. ساز و کار دوجذبی به شکل عبارت‌های مرکب از انحلال‌پذیری قانون هنری (حل شدن در میان زنجیرهای پیوسته پلیمر) و جذب از نوع لانگمیر (جذب در ریز‌حفره‌ها) بیان می‌شود. فرضیات اساسی در این معادله عبارتند از:

تراوش ۱-۳-بوتادی‌ان و n-بوتان را در غشاهای پلیمری ۶FDA-TrMPD کردن، ضریب تراویی ۱-۳-بوتادی‌ان در محدوده وسیع ۴-۲۰۰ barrer گزینش‌پذیری ایده‌آل ۱-۳-بوتادی‌ان و n-بوتان نیز در محدوده وسیع ۳۰-۲۰۰ در فشار ۱ atm است. آنها گزینش‌پذیری مخلوط دو هیدروکربن مزبور را در محدوده ۷/۶ تا ۱/۳ برابر گزینش‌پذیری ایده‌آل گزارش کردن که این امر مربوط به اثر نرم شدگی غشا به وسیله ۱-بوتادی‌ان است.

برای توصیف عملکرد جداسازی مخلوط این گازها مدل انتقال دوتایی معروفی شده است، هر چند صحت نتایج حاصل از این مدل همواره قابل تایید نیست. پیش‌بینی عملکرد پلیمرهای شیشه‌ای در جداسازی مخلوط گازهای اولفینی - پارافینی معمولاً دشوار بوده و نیازمند توصیف درست پدیده‌های پیچیده رخ دهنده در درون غشاست. از این‌رو، داشتن اطلاعاتی درباره ساز و کارهای انتقال محتمل در فرایندهای غشایی می‌تواند نقشی اساسی را در طراحی و کاربرد آنها ایفا کند.

در این کار پژوهشی، فرایند انتقال از میان غشاهای پلیمر شیشه‌ای، که منجر به جداسازی گزینش‌پذیر اجزای نفوذکننده می‌شود، با استفاده از مدل انتقال دوجذبی، مدل کلاسیک جذب - نفوذ و مدل استفان - ماکسول مدل سازی شده است. سپس، میزان تراویی و گزینش‌پذیری مخلوط‌های اولفینی - پارافینی با استفاده از این مدل‌ها پیش‌بینی شده

ترکیبی لانگمیر،  $D_D$  ثابت نفوذ هنری که نشان دهنده حرکت جزء در مذکور است،  $D_H$  ثابت نفوذ لانگمیر که نشان دهنده حرکت مواد در منطقه حجم آزاد است و  $C_H$  ثابت ظرفیت لانگمیر است که نمایانگر حجم آزاد در شبکه شیشه‌ای پلیمر و ماهیت نامتعادل آن است.

این مدل برای یک مخلوط  $n$  جزئی به شکل زیر توسعه می‌یابد:

$$P_i = K_{Di} D_{Di} + \frac{C_{Hi} D_{Hi} b_i}{\sum_1^n 1 + b_j p_j} \quad (4)$$

که معادله بالا برای هر جزء  $i$  در یک مخلوط  $n$  جزئی است. بنابراین، مدل دوجذبی برای جداسازی یک مخلوط دوجذبی با یک غشا (یک سامانه سه جزئی) پنج پارامتر  $D_{Di}$ ,  $C'_{Hi}$ ,  $b_i$ ,  $K_{Di}$  و  $D_{Hi}$  را برای یک جزء معروف می‌کند که سه پارامتر اول از داده‌های جذب هم‌دمای تعادلی و دو پارامتر باقی مانده از اطلاعات تجربی مربوط به میزان تراوایی گازها از میان پلیمر به دست می‌آیند.

### نتایج مربوط به مدل انتقال دوجذبی

برای بررسی کارآمدی این مدل در پیش‌بینی عملکرد جداسازی مخلوط‌های اولفینی - پارافینی، دو سامانه شامل مخلوط اتان - اتیلن با نسبت مولی ۵۰:۵۰ در پلیمر ۶FDA-6FpDA در دمای  $30^{\circ}\text{C}$  [۸] و پروپان - پروپیلن با نسبت مولی ۵۰:۵۰ در پلیمر ۶FDA-TrMPD در دمای  $323^{\circ}\text{K}$  [۱۴] در نظر گرفته شده است. نتایج مربوط به مدل دوجذبی براساس دو عامل ضریب تراوایی و گریشن‌پذیری توضیح داده می‌شوند که به شکل معادلات زیر بیان می‌شوند:

$$P_A = \frac{N_A}{(p_1 - p_2)/1} = \frac{N_A}{\Delta p / 1} \quad (5)$$

$$\alpha_{AB} = \frac{J_A / J_B}{x_A / x_B} = \left( \frac{P_A}{P_B} \right) \left( \frac{\Delta p_A / x_A}{\Delta p_B / x_B} \right) \quad (6)$$

همان‌طور که قبله گفته شد، منحنی جذب هم‌دمای گازها در پلیمرهای شیشه‌ای با استفاده از مدل انحلال دوجذبی بیان می‌شود. به کمک برآش غیرخطی داده‌های جذب [۸، ۱۴] براساس معادله (۱) پارامترهای مدل دوجذبی برای اجزای خالص اتان، اتیلن، پروپان و پروپیلن معین شده که در جدول ۲ گزارش شده‌اند. شکل‌های ۱ و ۲ نیز به ترتیب بیانگر اتفاق بسیار خوب داده‌های تجربی و مقادیر محاسبه شده حاصل از معادله یاد شده با توجه به پارامترهای درج شده در جدول ۲ است.

۱- دو حالت جذب به طور هم زمان رخ می‌دهند.

۲- دو حالت همیشه در حال تعادل‌اند.

۳- تراویش کننده‌های جذب شده در حالت لانگمیر کاملاً نامتحرك هستند.

۴- نفوذ فقط برای مولکول‌های حل شده در حالت هنری رخ می‌دهد.

۵- میزان جذب گاز در پلیمر به ازای فشار اعمالی  $p$  به شکل زیر است [۳۰]:

$$C = C_D + C_H = k_{Dp} + \frac{C_H bp}{1 + bp} \quad (1)$$

که در آن  $C$  غلظت کل،  $C_D$  غلظت حاصل از جذب در حالت هنری،  $C_H$  غلظت حاصل از پرشدن حفره‌ها،  $k_D$  ثابت جذب قانون هنری،  $C'_H$  ثابت اشباع حفره،  $b$  ثابت میل ترکیبی حفره و  $p$  فشار است. بنابراین عبارت اول میزان جذب، معرف جذب هنری و عبارت دوم معرف جذب لانگمیر است. در توسعه این مدل برای پیش‌بینی رفتار جذبی یک مخلوط، فرض می‌شود که اجزا در مخلوط تنها برای جذب شدن در موقعیت‌های لانگمیر رقابت می‌کنند و هیچ رقابتی برای جذب در مواقع هنری بین آنها وجود ندارد. از این‌رو، می‌توان مدل توسعه یافته هنری - لانگمیر برای مخلوط گازها را به شکل زیر بیان کرد:

$$C_i = K_{Di} p_i + \frac{C_{Hi} b_i p_i}{1 + \sum_{j=1}^n b_j p_j} \quad (2)$$

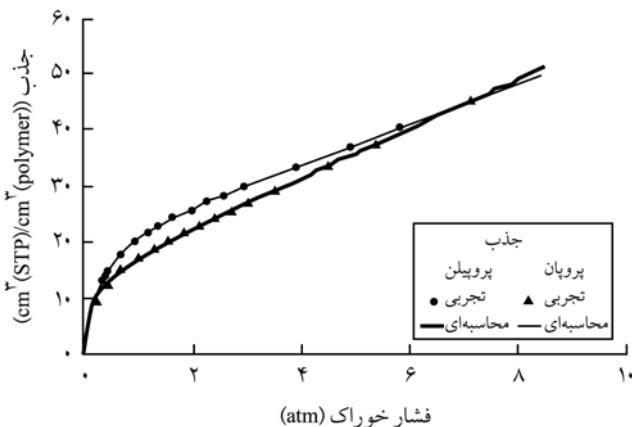
که معادله بالا برای هر جزء  $i$  در یک مخلوط  $n$  جزئی است. یادآور می‌شود، پارامترهای هر جزء در مخلوط همان پارامترهای محاسبه شده از داده‌های جذب هم دمای اجزای خالص است.

### مدل تراویش دوجذبی

در راستای مدل دوجذبی ارائه شده برای بیان جذب تعادلی اجزاء، تغییرات تراوایی گازها با فشار در پلیمرهای شیشه‌ای نیز معمولاً با مدل انتقال دوجذبی و مدل عدم حرکت جزئی ارائه شده است. این مدل‌های انتقال گاز با توجه به قانون هنری و لانگمیر در این نوع از غشاها استفاده می‌شود. رابطه فشار با تراویش برای یک جزء خالص به شکل زیر نشان داده می‌شود [۳۱]:

$$P = K_{DD} D_D + \frac{C_H D_H b}{1 + bp} \quad (3)$$

که در آن  $P$  ضریب تراوایی،  $p$  فشار،  $K_D$  ثابت هنری،  $b$  ثابت میل



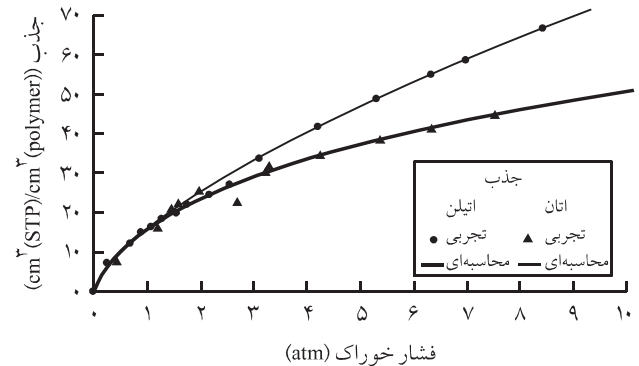
شکل ۲- منحنی برآش شده جذب هم دمای پروپان و پروپیلن براساس مدل دوجذبی و داده های تجربی در پلیمر ۶FDA-6FpDA در دمای ۳۰۸K [۱۴] ۳۲۳K.

گمان می‌رفت این امر ممکن است ناشی از نادیده گرفتن سهم جریان گرینش ناپذیر توده‌ای باشد. برای پیش‌بینی تراوش اجزا در یک مخلوط گازی از میان یک غشای پلیمری، معمولاً از آثار شار گزینش ناپذیر توده‌ای صرف نظر می‌شود. پاول و ابرالیما [۳۲] اولین کسانی بودند که به اهمیت شار توده‌ای (سامانه) پی بردن و درادامه کامارودین و کوروس [۳۳] اهمیت سهم شار توده‌ای را در مدل دوجذبی برای پیش‌بینی درست تراوش اجزا در آزمایش‌های مخلوط گازی نشان دادند. به عقیده آنها سهم شار غیرنفوذی باید از تراوایی کل کم شود و ضریب تراوایی واقعی به شکل زیر محاسبه شود:

$$P_A^* = (1 - \Pi_A^{\text{bulk}}) P_A = \frac{w_{A1} (1 + 1/r) P_A}{\ln [1 / (1 - w_{A1} (1 + 1/r))]} \quad (7)$$

$$P_B^* = (1 - \Pi_B^{\text{bulk}}) P_B = \frac{w_{B1} (1 + 1/r) P_B}{\ln [1 / (1 - w_{B1} (1 + 1/r))]} \quad (8)$$

بر اساس معادلات (۷) و (۸) تراوایی واقعی اجزا در مخلوط با درنظر داشتن اثر شار توده‌ای و کم کردن سهم آن در ضرایب تراوش، محاسبه



شکل ۱- منحنی برآش شده جذب هم دمای اتان و اتیلن براساس مدل دوجذبی و داده های تجربی در پلیمر ۶FDA-6FpDA در دمای ۳۰۸K [۸].

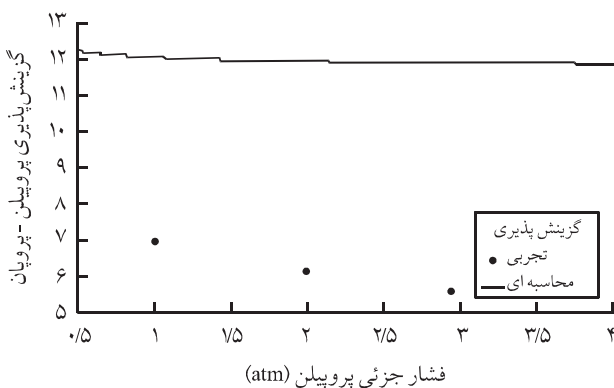
همان طور که بیان شد، مدل تراوش دوجذبی مشابه مدل اتحلال دوجذبی است، با این تفاوت که به جای جذب، میزان تراوایی بر حسب تابعی از فشار بیان می‌شود (طبق معادله (۳)). بررسی شده است که می‌توان این مدل را برای هر جزء از یک مخلوط n جزئی طبق معادله (۴) تعمیم داد. پارامترهای C\_H, K\_D و b به دست آمده از داده های جذب در این مدل مورد استفاده قرار می‌گیرد و در ادامه از برآش مقدادر مربوط به ضریب تراوش اجزا در حالت خالص در فشارهای مختلف می‌توان به پارامترهای D\_D و D\_H دست یافت. از این رو، با استفاده از پارامترهای به دست آمده از برآش داده های جذب، یعنی D\_H, K\_D و b که در جدول ۲ داده شده است، از برآش غیرخطی داده های تجربی مربوط به ضریب تراوایی اجزای مختلف [۸, ۱۴] با معادله (۴) پارامترهای نفوذی مدل انتقال دوجذبی مقدار D\_D و D\_H محاسبه شد که جدول ۳ نشان دهنده این مقادیر است.

در مرحله بعد، از نسبت ضریب تراوایی محاسبه شده برای اجزا در فشارهای مختلف در مخلوط براساس معادله (۴)، میزان گزینش پذیری بر حسب فشار در سامانه های مورد نظر به دست آمده که در شکل های ۳ و ۴ نشان داده شده است.

ملحوظه می‌شود که در مدل تراوش دوجذبی پیش‌بینی خوبی درباره گرینش پذیری اجزای مورد بحث در مخلوط ها انجام نمی‌شود. در ابتدا

جدول ۲- پارامترهای مدل اتحلال دوجذبی.

پلیمر	(K) دما	C'_H(cc(STP)/cm³)	b (1/atm)	K_D(cc (STP)/cm³(atm))	گاز
6FDA-6FpDA	۳۰۸	۳۴/۸۳	۰/۶۷۱۴	۲/۰۱۴	اتان
6FDA-6FpDA	۳۰۸	۳۰/۵۱	۰/۵۰۸	۴/۹۳۱	اتیلن
6FDA-TrMPD	۳۲۳	۱۴/۰۸	۸/۱۱	۴/۳۷۳	پروپان
6FDA-TrMPD	۳۲۳	۲۰/۸۶	۴/۳۷	۲/۴۱۸	پروپیلن



شکل ۴- گزینش پذیری پروپان - پروپیلن حاصل از مدل تراوش دوجذبی با نسبت  $50:50$  در مقایسه با مقادیر تجربی [۱۴].

حاصل ضرب ضریب نفوذ متوسط  $D$  و ضریب جذب  $S$  تعریف می شود. با صرف نظر کردن از فشار جریان خروجی نسبت به فشار خوراک و نیز با فرض عدم برهم کنش در مخلوط دوتایی، عامل گزینش پذیری از معادله (۷) را می توان به یک عامل جداسازی ایده آل تبدیل کرد که با  $\alpha^*$  نشان داده می شود.

از آن جا که داده های تراوایی اجزا در مخلوط فقط برای سامانه پروپان - پروپیلن [۱۴] موجود است، بنابراین در ادامه نتایج مدل کلاسیک جذب - نفوذ برای این سامانه بررسی می شود که داده های جذب آن با مدل دوجذبی هنری - لانگمیر قبلاً برآش شده و پارامترهای معین شده اند (جدول ۲).

#### تعیین ضریب نفوذ وابسته به غلظت

با استفاده از داده های تراوایی و جذب اجزا در داخل پلیمر، ضرایب

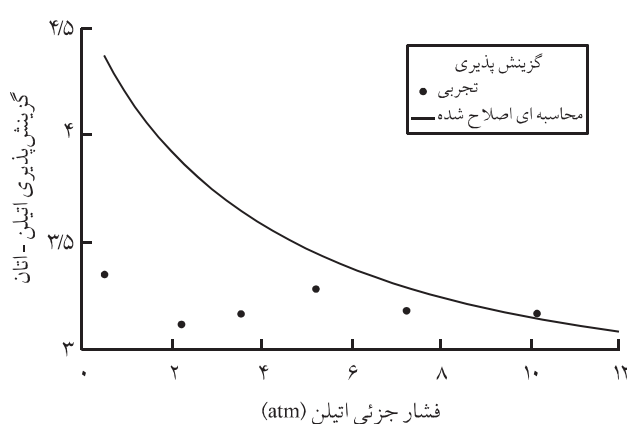
جدول ۳- پارامترهای مدل تراوش دوجذبی برای سامانه های اتان - اتیلن و پروپان - پروپیلن.

گاز	R	$D_H$ ( $\text{cm}^2/\text{s}$ )	$D_D$ ( $\text{cm}^2/\text{s}$ )
اتان	۰/۹۹۰۲۶	$۲/۰۷\times 10^{-۱۰}$	$۱/۰۳۹\times 10^{-۹}$
اتیلن	۰/۹۹۳۱۷	$۷/۶۷۳\times 10^{-۹}$	$۷/۲۳۶\times 10^{-۹}$
پروپان	۰/۹۵۲۱۹	$۲/۷۵۹\times 10^{-۱۰}$	$۲/۹۷۸\times 10^{-۹}$
پروپیلن	۰/۹۹۸۷۸	$۴/۶۶۱\times 10^{-۹}$	$۴/۴۸۸\times 10^{-۸}$

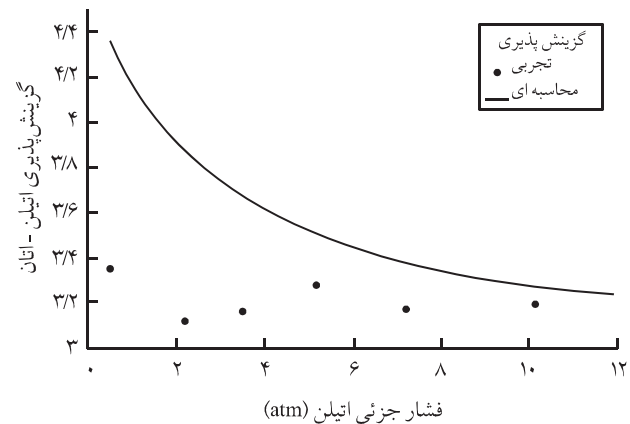
و درنهایت از نسبت گرفتن اجزای مخلوط، ضریب گزینش پذیری حاصل شد که شکل های ۵ و ۶ این نتایج را نشان می دهد. همان طور که در این شکل ها ملاحظه می شود، حتی با درنظر گرفتن شار توده ای نیز بهبودی در نتایج مربوط به گزینش پذیری حاصل نمی شود. بنابراین، می توان گفت که با وجود برخی از نتایج مناسب آمده در مراجع مختلف، مدل انتقال دوجذبی حتی با درنظر گرفتن اثر شار توده ای در پیش بینی عملکرد جداسازی غشایی اولفین ها - پارافین ها مفید نیست.

#### مدل کلاسیک جذب - نفوذ

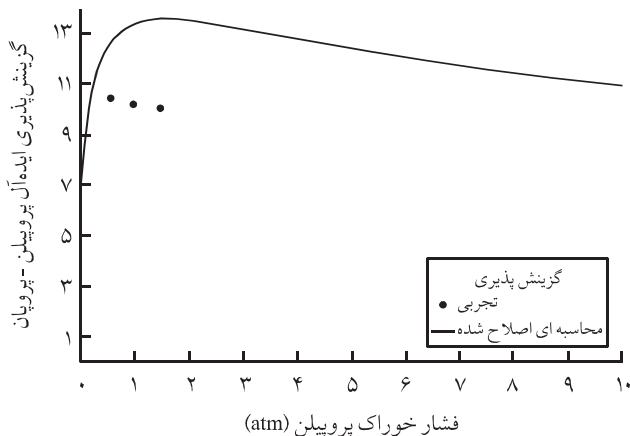
بر اساس مدل کلاسیک جذب - نفوذ برای پلیمرهای شیشه ای، که مشابه نظریه انحلال - نفوذ برای تراوش اجزای گازی در پلیمرهای کشسان است، ابتدا اجزای تراوش کننده از میان غشا در داخل خلل و فرج پلیمر جذب می شود که این میزان جذب بستگی به فشار توده گاز در تماس با غشا دارد. سپس، این اجزا با توجه به قدرت تحرک مولکولی، که به اندازه مولکول بستگی دارد، از میان غشا نفوذ می کنند. بنابراین، پدیده های تراوایی، جذب و نفوذ عوامل اساسی در انتقال از میان غشا هستند. ضریب تراوایی نیز به وسیله مدل جذب - نفوذ به شکل



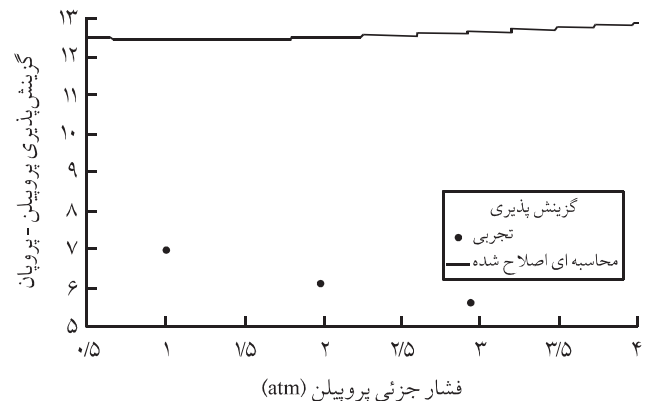
شکل ۵- گزینش پذیری اتان - اتیلن حاصل از مدل تراوش دوجذبی با در نظر گرفتن شار توده ای با نسبت  $50:50$  در مقایسه با مقادیر تجربی [۸].



شکل ۶- گزینش پذیری اتان - اتیلن حاصل از مدل تراوش دوجذبی با نسبت  $50:50$  در مقایسه با مقادیر تجربی [۸].



شکل ۷- پیش‌بینی گزینش پذیری ایده‌آل در مخلوط ۵۰:۵۰ پروپان - پروپیلن در دمای K ۳۲۳ در [۱۴] TrMPD.



شکل ۶- گزینش پذیری پروپان - پروپیلن حاصل از مدل تراوش دوجذبی با در نظر گرفتن شار توده‌ای با نسبت ۵۰:۵۰ در مقایسه با مقادیر تجربی [۱۴].

### پیش‌بینی نتایج جداسازی مخلوط گازها

با دردست داشتن پارامترهای ضرایب نفوذ وابسته به غلظت و محاسبه ضرایب جذب، محاسبه تراوایی اجزا در حالت خالص و نسبت آنها به عنوان گزینش پذیری ایده‌آل انجام شد که نتیجه آن در شکل ۷ نشان داده شده است.

همان طور که در این شکل دیده می‌شود، گزینش پذیری ایده‌آل که از نسبت تراوایی اجزا در حالت انتقال خالص از میان غشا معین می‌شود با مقادیر تجربی گزینش پذیری در حالت مخلوط تفاوت زیادی دارد. در هر حال، غلظت (C) به کار رفته در معادله تجربی (۹) میزان جذب اجزا در حالت خالص است که به طور مطلوبی گزینش پذیری اجزا در حالت مخلوط پیش‌بینی نمی‌شود. برای بهبود این امر پیشنهاد می‌شود که در معادله (۹) به جای غلظت اجزا در حالت خالص از غلظت هر جزء در حالت مخلوط با استفاده از معادله (۲) استفاده شود و سپس ضرایب D<sub>0</sub> و ۷ برای هر جزء در مخلوط طبق برآش غیرخطی محاسبه شود. از این رو، ضریب نفوذ هر جزء در مخلوط براساس داده‌های تراوایی تجربی و پیش‌بینی میزان جذب (غلظت جذب شده) هر جزء در مخلوط، محاسبه و در ادامه به وسیله معادله (۹) مقادیر D<sub>0</sub> و ۷ معین شد. پارامترهای مربوط به ضرایب نفوذ اجزای حاصل از این راه در جدول ۵ درج شده است.

جدول ۵- پارامترهای ضرایب نفوذ تصحیح شده با استفاده از غلظت مخلوط.

$\gamma$	D <sub>0</sub> (cm <sup>2</sup> /s)	گاز
۰/۰۷۱۹۸	۷/۷۴۷×۱۰ <sup>-۱۰</sup>	پروپان
۰/۰۵۴۳۷	۷/۰۱۵×۱۰ <sup>-۸</sup>	پروپیلن

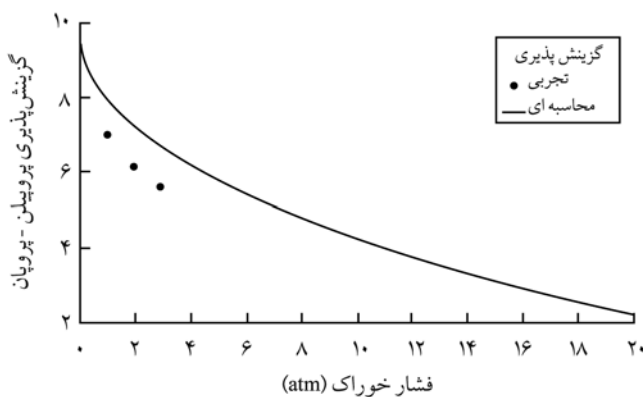
نفوذ در فشارهای مختلف معین می‌شود (D=P/S). مطالعات تجربی نشان می‌دهد، ضرایب نفوذ با غلظت اجزای پلیمر متناسب با تغییر فشار در توده گاز تغییر می‌کند. وابستگی ضرایب نفوذ اجزا در پلیمر به غلظت اجزای جذب شده در آن معمولاً به شکل معادله تجربی زیر بیان می‌شود:

$$(9) \quad D = D_0 \exp(\gamma C)$$

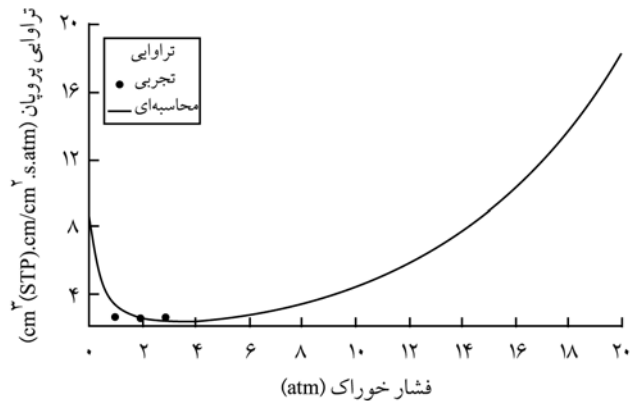
که در آن D<sub>0</sub> ضریب نفوذ در غلظت ناچیز، C غلظت جزء نفوذکننده در پلیمر و ۷ یک ثابت است. D<sub>0</sub> می‌تواند به اندازه مولکول نفوذکننده وابسته باشد، به طوری که برای مولکول‌های کوچک مقدار آن زیاد و برای مولکول‌های بزرگ این مقدار کم است. پارامتر ۷ ثابت نرمینگی نامیده می‌شود. ۷ مثبت نشان دهنده سهولت نفوذ در اثر افزایش غلظت و ۷ منفی نشان دهنده انسداد زنجیرها در اثر افزایش غلظت است. برای گازهای ساده که هیچ برهم‌کنشی با پلیمر از خود نشان نمی‌دهند، ۷ به سمت صفر میل می‌کند و معادله (۹) به یک ضریب نفوذ ثابت تبدیل می‌شود. ضرایب D<sub>0</sub> و ۷ به کمک برآش غیرخطی برای پروپان و پروپیلن در حالت خالص در جدول ۴ نشان داده شده است.

جدول ۴- پارامترهای وابستگی ضرایب نفوذ به غلظت در حالت خالص برای پروپان و پروپیلن.

$\gamma$	D <sub>0</sub> (cm <sup>2</sup> /s)	گاز
۰/۰۳۷۷۵	۵/۴۷۵×۱۰ <sup>-۱۰</sup>	پروپان
۰/۰۴۶۰۹	۴/۵۰۲×۱۰ <sup>-۹</sup>	پروپیلن



شکل ۱۰- پیش‌بینی گزینش پذیری در مخلوط ۵۰:۵۰ از پروپان- پروپیلن در دمای ۳۲۳ K در [۱۴] TrMPD.



شکل ۸- پیش‌بینی تراوایی پروپان در مخلوط ۵۰:۵۰ از پروپان- پروپیلن در دمای ۳۲۳ K در [۱۴] TrMPD.

### توسعه مدل عمومی انتقال استفان - ماسول برای کاربرد در جداسازی مخلوط اولفین - پارافین

ارزیابی جداگانه اثر بر هم کنش ترمودینامیکی و سینتیکی در یک سامانه چند جزئی و آثار آنها بر شار و انتقال اجزا از میان غشاء، مستلزم توصیف درست پدیده‌های جذب و نفوذ در ماتریس پلیمری بر اساس نظریه جذب - نفوذ است. انجام این کار در مدل‌های پدیده‌ای (مانند قانون فیک تعمیم یافته یا ترمودینامیک برگشت ناپذیر) به راحتی امکان‌پذیر نیست. از این رو ترجیح داده می‌شود، بررسی این آثار از راه فرمول‌بندی استفان - ماسول انجام پذیرد که حداقل دارای سه مزیت بارز نسبت به روش‌های دیگر است:

۱- ضرایب نفوذ در استفان - ماسول دارای مفهوم فیزیکی به شکل اصطکاک بین مولکولی است.

۲- ضرایب نفوذ در استفان - ماسول مستقل از مرجع حرکت‌اند.

۳- ضرایب نفوذ دو جزئی در این روش اهمیت فیزیکی خود را حفظ کرده و می‌توانند به طور مستقیم در توصیف ضرایب نفوذ در سامانه‌های چند جزئی پیچیده به کار گرفته شوند.

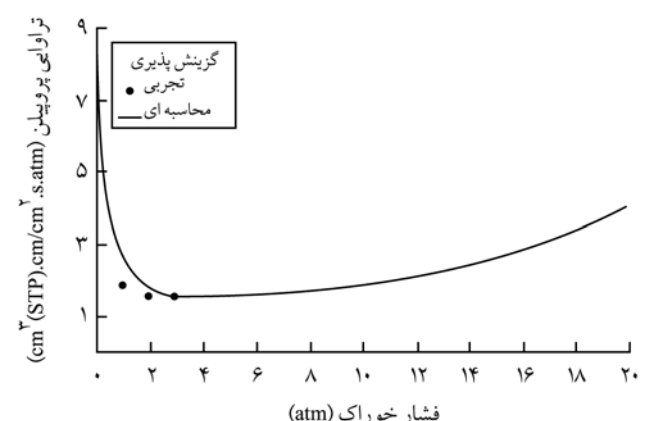
در این مطالعه، مدل انتقال برای توصیف گزینش پذیر مخلوط گازها از میان غشاء‌های پلیمر شیشه‌ای بر مبنای نظریه استفان - ماسول انجام شده است که بر هم کنش‌های سینتیکی و ترمودینامیکی را به طور کمی توصیف می‌کند. شار مولی برای یک مخلوط در غشاها می‌تواند به وسیله معادله استفان - ماسول توصیف شود [۳۴]:

$$(N) = -C_t[B]^{-1}[\Gamma](\nabla x) \quad (10)$$

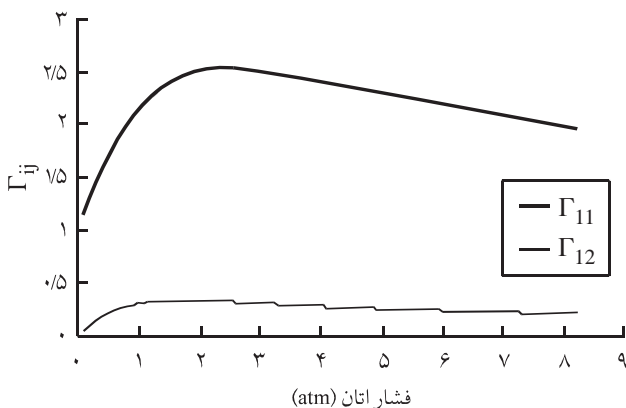
که  $[B]$  ماتریس سینتیکی است و در برگیرنده ضرایب نفوذ استفان - ماسول است.  $\Gamma$  نیز ماتریس ترمودینامیکی است که عناصر آن از

دراین مرحله، با توجه به داشتن ضرایب نفوذ، میزان تراوایی هر جزء در مخلوط در فشارهای مختلف معین شد. نسبت تراوایی اجزا در فشارهای یکسان نیز بیانگر گزینش پذیری در همان فشار است. نتایج پیش‌بینی تراوایی برای هر جزء و گزینش پذیری به ترتیب در شکل‌های ۸ تا ۱۰ قابل مشاهده است.

ملحوظه می‌شود، نظریه جذب - نفوذ با استفاده از ضرایب نفوذ وابسته به غلظتی، که از مدل توسعه یافته هنری - لانگمیر برای مخلوط محاسبه شده، نتایج مطلوبی به دست داده است. با وجود این بهبود، باید اذعان داشت، در استخراج ضرایب نفوذ، از داده‌های تراویش تجربی مخلوط گازها استفاده شده است که ضرورت انجام آزمایش تراوایی در حالت مخلوط را در بر دارد. این امر مزیت پیش‌بینی عملکرد جداسازی مخلوط براساس داده‌های تجربی تراوایی و جذب اجزای خالص را به تنهایی کم رنگ می‌سازد.



شکل ۹- پیش‌بینی تراوایی پروپیلن در مخلوط ۵۰:۵۰ از پروپان - پروپیلن در دمای ۳۲۳ K در [۱۴] TrMPD.



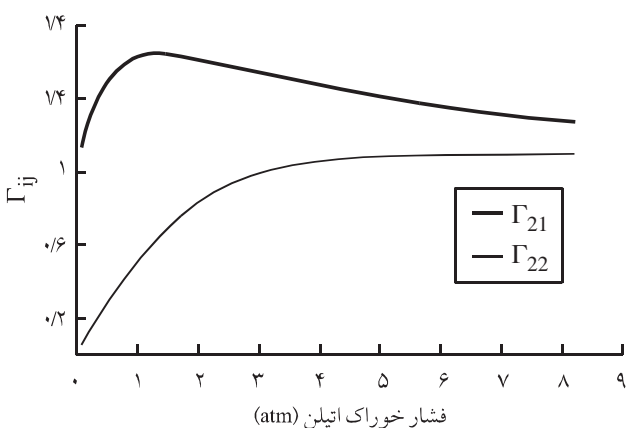
شکل ۱۱- برهم کنش ترمودینامیکی اتان براساس مقادیر اجزای ماتریس ترمودینامیکی (جزء اصلی  $\Gamma_{11}$  و جزء فرعی  $\Gamma_{12}$ ).

هم دمای هر جزء در مخلوط است که این مسئله با استفاده از مدل دوجذبی توسعه یافته هنری - لانگمیر (معادله (۲)) که در یک مخلوط سه جزئی به شرح زیر توصیف می شود، قابل حل است:

$$C_1 = K_{D1} p_1 + \frac{C_{H1} b_1 p_1}{1 + b_1 p_1 + b_2 p_2} \quad (16)$$

$$C_2 = K_{D2} p_2 + \frac{C_{H2} b_2 p_2}{1 + b_1 p_1 + b_2 p_2} \quad (17)$$

جزئیات محاسبه مشتقهای جزئی موجود در ماتریس ترمودینامیکی قبل اً توسط نگارنده گزارش شده است [۳۵]. به منظور نشان دادن آثار برهم کنش ترمودینامیکی، ضرایب فرعی و اصلی ماتریس ترمودینامیکی  $[\Gamma_{ij}]$  برای اتان، اتیلن، پروپان و پروپیلن به ترتیب در شکل های ۱۱ تا ۱۴



شکل ۱۲- برهم کنش ترمودینامیکی اتیلن براساس مقادیر اجزای ماتریس ترمودینامیکی (جزء اصلی  $\Gamma_{21}$  و جزء فرعی  $\Gamma_{22}$ ).

اطلاعات مربوط به تعادل ترمودینامیکی فازها (گاز - غشا) به دست می آید. عناصر فرعی این دو ماتریس به ترتیب میزان اهمیت جفت سینتیکی و جفت ترمودینامیکی را در انتقال جرم چند جزئی بیان می کند. در حالت ایده آل این عناصر صفر هستند و به عبارت دیگر انتقال هر جزء مستقل از انتقال اجزای دیگر است. اما، در سامانه های غیر ایده آل رفتار انتقالی هر جزء می تواند به واسطه پدیده جفت شدن بر رفتار انتقالی اجزای دیگر اثرگذار باشد. این معادله برای یک مخلوط دوتایی به شکل زیر خواهد بود:

$$\begin{pmatrix} N_1 \\ N_2 \end{pmatrix} = -C_t \begin{bmatrix} B_{11} & B_{12} \\ B_{21} & B_{22} \end{bmatrix}^{-1} \begin{bmatrix} \Gamma_{11} & \Gamma_{12} \\ \Gamma_{21} & \Gamma_{22} \end{bmatrix} \begin{bmatrix} \frac{\partial x_1}{\partial z} \\ \frac{\partial x_2}{\partial z} \end{bmatrix} \quad (11)$$

محاسبه ماتریس ترمودینامیکی و ارزیابی برهم کنش اجزا بر یک دیگر نسبت  $\Gamma_{ji}/\Gamma_{ii}$  بزرگی کوبیل ترمودینامیکی (اثرپذیری شار اجزای از وجود جزء دیگر به لحاظ ترمودینامیکی) را نشان می دهد. عناصر ماتریس ترمودینامیکی  $[\Gamma_{ji}]$  معرفی شده در معادله (۱۰) به شکل زیر تعریف می شود [۳۴]:

$$\Gamma_{ij} = \frac{x_i}{RT} \frac{\partial \mu_i}{\partial x_j} |_{T,P} \quad (12)$$

در فشارهای کم گرادیان پتانسیل شیمیابی جزء  $i$  به فشار جزئی آن به شکل زیر وابسته است:

$$d\mu_i = RT d \ln p_i \quad (13)$$

با جایگزینی معادله (۱۳) در (۱۲) این نتیجه حاصل می شود که:

$$\Gamma_{ij} = \frac{x_i}{p_i} \left( \frac{\partial p_i}{\partial x_j} \right) \cong \frac{C_i}{p_i} \frac{\partial p_i}{\partial C_j} \quad (14)$$

بنابراین، عناصر ماتریس ترمودینامیکی در یک مخلوط دوجذبی به شکل زیر است:

$$\begin{bmatrix} \Gamma_{11} & \Gamma_{12} \\ \Gamma_{21} & \Gamma_{22} \end{bmatrix} = \begin{bmatrix} \frac{C_1}{p_1} \frac{\partial p_1}{\partial C_1} & \frac{C_1}{p_1} \frac{\partial p_1}{\partial C_2} \\ \frac{C_2}{p_2} \frac{\partial p_2}{\partial C_1} & \frac{C_2}{p_2} \frac{\partial p_2}{\partial C_2} \end{bmatrix} \quad (15)$$

برای محاسبه مشتقهای جزئی در معادله (۱۵) نیاز به معادله جذب

فرایندهای جداسازی غشا در فشار عملیاتی زیاد انجام می‌گیرد، بنابراین می‌توان گفت، نادیده گرفتن برهم کنش‌های ترمودینامیکی و لحاظ نکردن جزء دوم در مدل سازی باعث خطای زیادی در طراحی سامانه جداسازی می‌شود.

**محاسبه ماتریس سیستمیکی چند جزئی و ارزیابی برهم کنش سیستمیکی**  
ارزیابی برهم کنش سیستمیکی اجزا از محاسبه ماتریس نفوذ چند جزئی و مقایسه عناصر اصلی و فرعی این ماتریس با یک دیگر حاصل می‌شود.  
ماتریس سیستمیکی [B] در معادله (۱۰) را، با فرض این که غشا نامتحرک در نظر گرفته شود ( $N_p=0$ )، در یک سامانه دو جزئی می‌توان به شکل زیر تعریف کرد [۳۶]:

$$[B] = \begin{bmatrix} \frac{x_2}{\Theta_{12}} + \frac{x_p}{\Theta_{1p}} & -\frac{x_1}{\Theta_{12}} \\ -\frac{x_2}{\Theta_{12}} & \frac{x_1}{\Theta_{12}} + \frac{x_p}{\Theta_{2p}} \end{bmatrix} \quad (18)$$

که  $x_i$  جزء مولی  $i$  و  $\Theta_{ij}$  ضریب نفوذ دوتایی استفاده - ماکسول اجزا در یک دیگر است که از نوشته‌های سایر محققان معین می‌شود [۳۷]. نیز بیانگر ضرایب نفوذ دوتایی هر جزء در غشاست که با توجه به معادله زیر به ضرایب نفوذ دوتایی فیک مربوط می‌گردد:

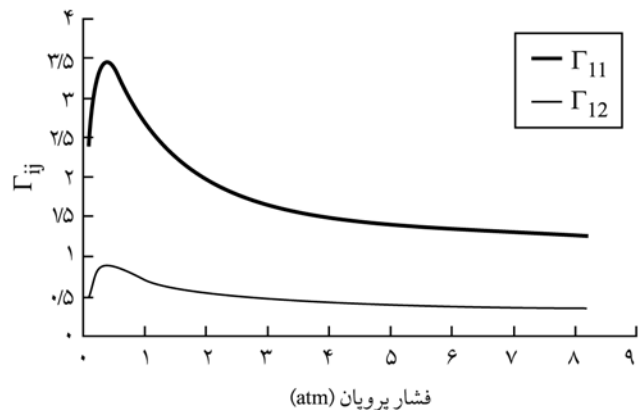
$$\Theta_{ip} = D_p \frac{\partial \ln C_i}{\partial \ln p_i} = D_{ip} \frac{p_i}{C_i} \frac{\partial C_i}{\partial p_i} \quad (19)$$

که در آن  $C_i$  غلظت جذب شده جزء  $i$  در حالت خالص براساس معادله (۱) و  $D_{ip}$  ضریب نفوذ دوتایی فیک جزء  $i$  در پلیمر است. ضرایب نفوذ دو جزئی استفاده - ماکسول  $\Theta_{ip}$  به شکل زیر به ضرایب نفوذ فیک  $D_{ip}$  مربوط می‌شود:

$$\Theta_{ip} = \frac{D_{ip}}{\Gamma_{ij}} \quad (20)$$

با درنظر گرفتن معادله (۱۲) و جایگزینی پتانسیل شیمیایی بر حسب فشار (معادله (۱۳)) در آن برای سامانه‌های دو جزئی و ساده سازی، معادله زیر حاصل می‌گردد:

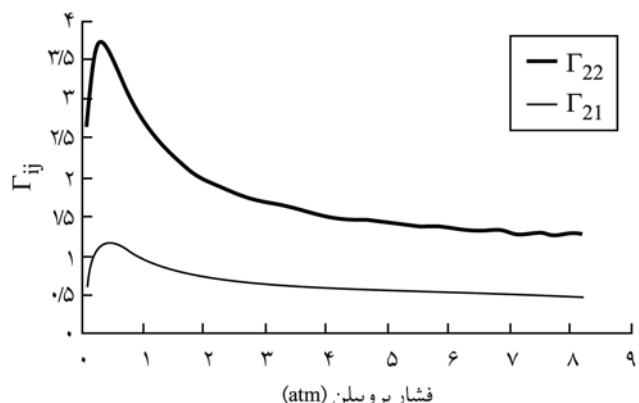
$$\Gamma_{ij} = \frac{x_i}{p_i} \left( \frac{\partial p_i}{\partial x_i} \right) = \frac{C_i}{p_i} \left( \frac{\partial p_i}{\partial C_i} \right) \quad (21)$$



شکل ۱۳- برهم کنش ترمودینامیکی پروپان براساس مقادیر اجزای ماتریس ترمودینامیکی (جزء اصلی  $\Gamma_{11}$  و جزء فرعی  $\Gamma_{12}$ ).

رسم شده‌اند.

در این شکل‌ها به منظور نمایش آثار برهم کنش ترمودینامیکی  $[\Gamma_{ij}]$  دو سامانه مورد بررسی، ضرایب اصلی و فرعی به ترتیب برای اتان، اتیلن، پروپان و پروپیلن ترسیم شده‌اند. همان‌طور که در شکل‌های ۱۱ و ۱۲ دیده می‌شود، عناصر فرعی در مقابل عناصر اصلی قابل اغماض نیست و درصد قابل ملاحظه‌ای از آن را تشکیل می‌دهند. این امر نمایانگر آن است که انتقال اتان و اتیلن هردو از میان غشا به لحاظ ترمودینامیکی از حضور جزء دوم تاثیر می‌پذیرد. برای اتان در دامنه مختلف فشار این اثر تقریباً ثابت است، در حالی که برای اتیلن این اثر در فشارهای زیاد بیشتر است. نتایج مشابهی را می‌توان در شکل‌های ۱۳ و ۱۴ برای سامانه پروپان - پروپیلن مشاهده کرد. نسبت قابل ملاحظه مقادیر عناصر فرعی به عناصر اصلی ماتریس ترمودینامیکی نشان‌دهنده برهم کنش قوی ترمودینامیکی اجزا در داخل ماتریس پلیمری است. این برهم کنش در فشارهای زیاد قوی‌تر است. از آن جا که بسیاری از



شکل ۱۴- برهم کنش ماتریس ترمودینامیکی پروپیلن براساس مقادیر اجزای ماتریس ترمودینامیکی (جزء اصلی  $\Gamma_{22}$  و جزء فرعی  $\Gamma_{21}$ ).

جدول ۷- مقادیر متوسط عناصر معکوس ماتریس [B] برای سامانه پروپان - پروپیلن بر حسب  $\text{cm}^2/\text{s}$ .

$B_{22}^{-1}$	$B_{21}^{-1}$	$B_{12}^{-1}$	$B_{11}^{-1}$
$2 \times 10^{-7}$	$0.4 \times 10^{-12}$	$0.5 \times 10^{-12}$	$2 \times 10^{-8}$

اتیلن و پروپان - پروپیلن نشان داده شده است. همان طور که مشاهده می‌شود، در تمام موارد مقادیر ضرایب فرعی در مقایسه با ضرایب اصلی برای هر دو جزء موجود در سامانه اتان - اتیلن و پروپان - پروپیلن حتی در فشارهای زیاد نیز دارای اهمیت نیستند. برای مثال، در سامانه اتان - اتیلن، ضرایب فرعی  $B_{12}^{-1}$  از نظر مقدار در مقیاس  $10^{-15}$  است که در مقایسه با ضرایب اصلی  $B_{11}^{-1}$  با مقیاس  $10^{-9}$  ناچیز است یا در سامانه پروپان - پروپیلن، ضرایب فرعی  $B_{21}^{-1}$  از نظر مقدار در مقیاس  $10^{-12}$  است، که در مقایسه با ضرایب اصلی  $B_{11}^{-1}$  با مقیاس  $10^{-7}$  نیز ناچیز است. با توجه به معادله (۲۳) می‌توان دریافت، دلیل اصلی این برهمنکش سینتیکی ضعیف است که ضرایب نفوذ دو جزء نفوذکننده در یک  $D_{12}$  بسیار بزرگتر از ضرایب نفوذ اجزای نفوذکننده در پلیمر  $D_{1p}$  و  $D_{2p}$  است. این امر باعث می‌شود، اجزای فرعی ماتریس  $[B]$  در معادله (۲۳) قابل اغماض باشد. بنابراین می‌توان گفت در سامانه‌های مورد بررسی اتان - اتیلن و پروپان - پروپیلن، برهمنکش سینتیکی قابل صرف نظر کردن است. به عبارت دیگر، از نظر سینتیک برخورده، شار یک جزء تحت تأثیر جزء دوم قرار نمی‌گیرد و این نتیجه در راستای نتایجی است که در مقالات قبلی نگارنده به دست آمده است [۳۵].

**پیش‌بینی گزینش‌پذیری با استفاده از فرمول بندی استفان-ماکسول**  
با توجه به معادله (۱۱) و محاسبه مقادیر ماتریس ترمودینامیکی و سینتیکی، امکان محاسبه شار مولی برای هر جزء در سامانه‌های مورد نظر فراهم می‌شود. با حل این مدل در محدوده فشار  $0-12 \text{ atm}$  با توجه به نسبت اجرا  $50:50$  در هر دو سامانه یاد شده، تغییرات گزینش‌پذیری بر حسب افزایش فشار جزئی یکی از اجرا در مخلوط محاسبه شد که به ترتیب در شکل‌های ۱۵ و ۱۶ برای سامانه‌های اتان - اتیلن و پروپان - پروپیلن قابل مشاهده است. همچنین، گزینش‌پذیری تجربی این سامانه‌ها برای امکان مقایسه با نتایج حاصل از مدل نشان داده شده است [۸، ۱۴].

همان طور که مشاهده می‌شود، در سامانه اتان - اتیلن میزان نسبتاً ثابت گزینش‌پذیری به دست آمده از مدل در محدوده فشار یاد شده تقریباً ۴ است که در مقایسه با مقدار تجربی آن یعنی  $3/1$  نتیجه قابل قبولی است. همچنین، در سامانه پروپان - پروپیلن میزان گزینش‌پذیری به دست آمده

با ترکیب معادله‌های (۲۰) و (۲۱) معادله (۲۲) حاصل می‌شود:

$$D_{ip} = D_{ip} \frac{p_i}{C_i} \frac{\partial C_i}{\partial p_i} \quad (22)$$

که  $D_{ip}$  ضریب نفوذ فیک است. بنابراین، با داشتن داده‌های جذب هم دما در پلیمر [۸، ۱۴] و ضرایب نفوذ فیک اجزای خالص در پلیمر، ضرایب نفوذ استفان - ماکسول دوجزئی با استفاده از معادله (۲۲) حاصل می‌گردد. مزیت مهم فرمول بندی استفان - ماکسول نسبت به روش فیک تعمیم یافته و نیز روش ترمودینامیک غیربرگشتی، استفاده از ضرایب نفوذ دوتایی به منظور بیان رفتار نفوذی مخلوط‌های خالص چند جزئی است. در ماتریس [B] ضرایب نفوذ دوتایی از داده‌های نفوذ اجزای خالص به دست می‌آیند. به عنوان مثال  $D_{12}$  ضرایب نفوذ استفان - ماکسول اتان در  $D_{1p}$  و  $D_{2p}$  در پروپیلن در پروپیلن در دو سامانه مورد بررسی و  $D_{1p}$  و  $D_{2p}$  ضرایب نفوذ اجزای خالص در غشا هستند.

در جداسازی اولفین - پارافین فشار حداقل از  $8-10 \text{ bar}$  تجاوز نمی‌کند، که در این محدوده فشار گاز را می‌توان تقریباً ایده‌آل فرض کرد. بنابراین، عامل ترمودینامیکی برای چنین سامانه‌ای برابر با واحد است  $[34]$  و از این روش  $D_{12} = D_{12}$  است. در حالی که برای فرایندهای جداسازی غیراولفین - پارافین مانند  $\text{CO}_2-\text{H}_2$  که معمولاً در فشار زیاد انجام می‌گیرد، گاز غیرایده‌آل است و ضرایب نفوذ فیک و استفان - ماکسول متفاوت است. افزون بر این، ضرایب نفوذ دوتایی گازها در یک دیگر نسبت به ضرایب نفوذ هر یک از اجزا در پلیمر از نظر اندازه خیلی بزرگتر است ( $D_{2p} > D_{1p}$ ) و در نتیجه در پیش‌بینی ماتریس نفوذ چندتایی B از معادله (۱۸)، عناصر فرعی با هر مقدار ( $D_{12}$  تصحیح شده برای گاز غیرایده‌آل یا تصحیح نشده) اهمیتی در برابر عناصر اصلی ماتریس پیدا نمی‌کنند.

برای یک مخلوط دوجزئی گازی،  $D_{12}$  را می‌توان از معادله معروف ویک - لی برای تعیین ضرایب نفوذ مخلوط گازهای غیرقطبی یا یک گازقطبی همراه با یک گاز غیرقطبی به دست آورد [۳۸].

درنهایت، با حصول ضرایب نفوذ دوتایی استفان - ماکسول  $D_{ij}$ ، براساس معادله (۲۳) عناصر ماتریس سینتیکی محاسبه شد. در جداول ۶ و ۷ مقادیر متوسط عناصر اجزای ماتریس  $[B]$  برای دو سامانه اتان -

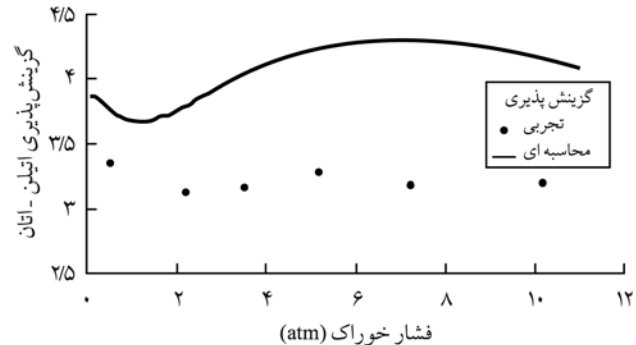
جدول ۶- مقادیر متوسط عناصر معکوس ماتریس [B] برای سامانه اتان - اتیلن بر حسب  $\text{cm}^2/\text{s}$

$B_{22}^{-1}$	$B_{21}^{-1}$	$B_{12}^{-1}$	$B_{11}^{-1}$
$2 \times 10^{-8}$	$1/5 \times 10^{-15}$	$1 \times 10^{-15}$	$2 \times 10^{-9}$

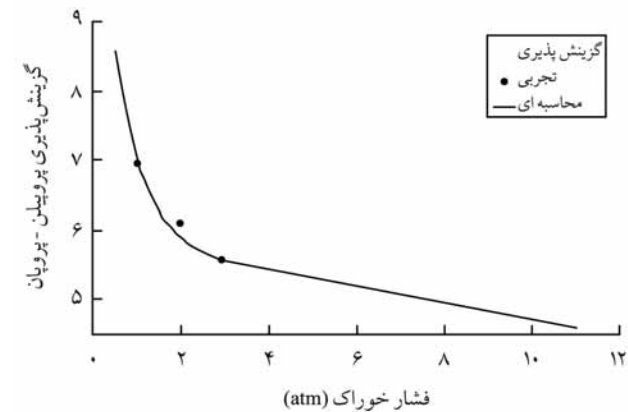
پارافین با غشاها پلیمر شیشه‌ای بررسی شد. سامانه‌های انتخاب شده برای بررسی صحت مدل‌های یاد شده، جداسازی مخلوط اتان - اتیلن با غشا پلی‌آمید ۶FDA-۶FpDA و مخلوط پروپان - پروپیلن با غشا پلی‌آمید ۶FDA-TrMPD با توجه به داده‌های موجود بوده است. نتایج به دست آمده از مدل انتقال دوجذبی نشان داد که با وجود برخی از نتایج مناسب در جذب و تراوایی، مدل یاد شده به طور اساسی برای تعیین نهایی ضریب تراوش و گرینش‌پذیری اجزا در مخلوط این دو سامانه، حتی با درنظرگرفتن اثر شار توده‌ای در پیش‌بینی عملکرد جداسازی غشاها اولفین‌ها - پارافین‌ها مفید نیست. همچنین، در بررسی نظریه کلاسیک جذب - نفوذ مشاهده شد، تنها استفاده از داده‌های جذب و تراوایی اجزای خالص و محاسبه گرینش‌پذیری ایده‌آل امکان پیش‌بینی مناسبی را برای گرینش‌پذیری اجزا در مخلوط فراهم نمی‌کند. از این رو در نظریه جذب - نفوذ، ضرایب نفوذ وابسته به غلظتی استفاده شد که از مدل توسعه یافته هنری - لانگمیر برای مخلوط محاسبه شده است.

استفاده از این نظریه اگرچه روند تغییرات را درست پیش‌بینی می‌کند و منجر به نتایج بسیار قابل قبول تری در مقایسه با گرینش‌پذیری ایده‌آل پیش‌بینی شده توسط همین نظریه می‌شود، اما با وجود موفقیت مدل در توصیف درست عملکرد جداسازی، استفاده از ضرایب تراوایی اندازه‌گیری شده در حالت مخلوط این موفقیت را کم رنگ می‌سازد. مزیت مدل استفان - ماکسول در استفاده از داده‌های جذب و نفوذ اجزای خالص، برای پیش‌بینی میزان تراوش اجزا در حالت مخلوط و تعیین گرینش‌پذیری مخلوط است. بررسی نظری ساز و کار انتقال، با در نظر گرفتن برهم کنش‌های سینتیکی و ترمودینامیکی بین اجزای نفوذی در مدل فراهم گردید. نتایج به دست آمده نشان می‌دهد که اثر برهم کنش ترمودینامیکی اجزا بر یک دیگر برای هر دو سامانه مورد مطالعه بسیار قابل ملاحظه بوده، اما برهم کنش سینتیکی دو جزء بر یک دیگر حتی در غلظت‌های نسبتاً زیاد نفوذ‌کننده در غشا بسیار کم و تقریباً در سامانه‌های اولفین - پارافین - پلیمر صفر است.

به عبارت دیگر، جریان یک جزء از لحاظ ترمودینامیکی تحت تاثیر جزء دوم قرار داشته ولی از نظر سینتیک برخورده، تحت اثر جزء دوم قرار نمی‌گیرد. مقایسه داده‌های تجربی محدود موجود درباره گرینش‌پذیری مخلوط نشان داد که مدل توسعه یافته بر مبنای فرمول بندی استفان - ماکسول تنها با استفاده از اطلاعات به دست آمده از مطالعات جذب و تراوایی اجزای خالص می‌تواند پیش‌بینی خوبی را درباره مخلوط‌های چند جزئی ارائه دهد.



شکل ۱۵- مقایسه بین گرینش‌پذیری محاسبه شده در سامانه اتان - اتیلن با نسبت ۵۰:۵۰ با مقادیر تجربی [۸].



شکل ۱۶- مقایسه بین گرینش‌پذیری محاسبه شده در سامانه پروپان - پروپیلن با نسبت ۵۰:۵۰ با مقادیر تجربی [۱۴].

از مدل در محدوده فشار ۱-۳ atm برای تقریباً ۵/۵-۷/۵ است که در مقایسه با مقدار تجربی تطبیق بسیار نزدیک تری را نشان می‌دهد. همان‌طور که ملاحظه می‌شود، درنظر گرفتن تمام آثار برهم کنش چند جزئی و عدم صرف نظر کردن از برهم کنش‌های سینتیکی و ترمودینامیکی منجر به مطابقت خوبی با نتایج تجربی می‌شود، در حالی که فرض‌های ساده‌شونده و نادیده گرفتن آثار برهم کنش جریان‌ها با یک دیگر از کاربرد عملی مدل سازی‌ها می‌کاهند.

## نتیجه‌گیری

در این مطالعه سه مدل انتقال دوجذبی، مدل کلاسیک جذب - نفوذ و فرمول بندی استفان - ماکسول برای بیان رفتار جداسازی مخلوط اولفین -

## مراجع

1. *International Petroleum Encyclopedia*, West J. (Ed.), Penn Well, Oklahoma, USA, Chap. 11, 1996.
2. Perry R.H. and Green D., *Perry's Chemical Engineers Handbook*, 6th ed., McGraw-Hill, New York, Chap. 3, 113, 1984.
3. Hirschfelder J.H., Curtiss C.F. and Bird R.B., *Molecular Theory of Gases and Liquids*, John Wiley and Sons, New York, Chap. 7, 1964.
4. Bruce Eldridge R., Olefin/Paraffin Separation Technology: A Review, *Ind. Eng. Chem. Res.*, **32**, 2208-2212, 1993.
5. Lonsdale H.K., The Growth of Membrane Technology, *J. Membr. Sci.*, **10**, 81-181, 1982.
6. Schell W.J., Commerical Applications for Gas Permeation Membrane Systems, *J. Membr. Sci.*, **22**, 217-224, 1985.
7. Koros W.J. and Fleming G.K., Membrane-based Gas Separation, *J. Membr. Sci.*, **83**, 1-80, 1993.
8. Bickel C.S. and Koros W.J., Olefin/Paraffin Gas Separation with 6-FDA Polyimide Membranes, *J. Membr. Sci.*, **170**, 205-214, 2000.
9. Hughes R.D, Mohoney J.A. and Steigelman E.F., Olefin Separation by Facilitated Transport Membranes, *Recent Developments in Separation Science*, 9, CRC, Boca Raton, 173, 1986.
10. Teramoto M., Matsuyama H., Yamashiro T. and Katayama Y., Separation of Ethylene from Ethane by Supported Liquid Membranes Containing Silver Nitrate as a Carrier, *J. Membr. Sci.*, **45**, 115-136, 1989.
11. LeBlanc O.H., Ward W.J., Matson S.L. and Kimura S., Facilitated Transport in Ion-exchange Membranes, *J. Membr. Sci.*, **6**, 339-343, 1980.
12. Ho W.S. and Dalrymple D.C., Facilitated Transport of Olefins in Ag Containing Polymer Membranes, *J. Membr. Sci.*, **91**, 13-25, 1994.
13. Ito A. and Hwang S.T., Permeation of Propane and Propylene Through Cellulosic Polymer Membranes, *J. Appl. Polym. Sci.*, **38**, 483-490, 1989.
14. Tanaka K., Taguchi A., Hao J., Kita H. and Okamoto K., Permeation and Separation Properties of Polyimide Membranes to Olefins and Paraffins, *J. Membr. Sci.*, **121**, 197-207, 1996.
15. Lee K.R., Hwang S.T., Separation of Propylene and Propane by Polyimide Hollow-fiber Membrane Module, *J. Membr. Sci.*, **73**, 37-45, 1992.
16. Shimazu A., Ikeda K., Hachisuka H., Method of Selectively Separating Unsaturated Hydrocarbon, *US Pat.* 5,749,943, 1996.
17. Stern S.A., Polymers for Gas Separations: The Next Decade, *J. Membr. Sci.*, **94**, 1-65, 1994.
18. Chung T.S., Kafchinski E.R. and Vora R., Development of a Defect-free 6FDA-durene Asymmetric Hollow Fiber and its Composite Hollow Fibers, *J. Membr. Sci.*, **88**, 21-36, 1994.
19. Lin W.H., Vora R.H., Chung T.S., The Gas Transport Properties of 6FDA-durene/1,4-Phenylenediamine (pPDA) Copolyimides, *J. Polym. Sci., Polym. Phys. Ed.*, **38**, 2703-2713, 2000.
20. Zimmerman C.M. and Koros W.J., Polypyrrolones for Membrane Gas Separations, I. Structural Comparison of Gas Transport and Sorption Properties, *J. Polym. Sci. Polym. Phys. Ed.*, **37**, 1235-1249, 1999.
21. Zimmerman C.M. and Koros W.J., Polypyrrolones for Membrane Gas Separations. II. Activation Energies and Heats of Sorption, *J. Polym. Sci. Polym. Phys. Ed.*, **37**, 1251-1265, 1999.
22. Zimmerman C.M. and Koros W.J., Entropic Selectivity Analysis of a Series of Polypyrrolones for Gas Separation Membranes, *Macromolecules*, **32**, 3341-3346, 1999.
23. Shimazu A., Miyazaki T., Maeda M. and Ikeda K., Relationships Between the Chemical Structures and the Solubility, Diffusivity and Perme Selectivity of Propylene and Propane in 6FDA-Based Polyimides, *J. Polym. Sci. Polym. Phys. Ed.*, **38**, 2525-2536, 2000.
24. Krol J.F., Boerriger M. and Koops G.H., Polyimide Hollow Fiber Gas Separation Membranes: Preparation and the Suppression of Plasticization in Propane/Propylene Environments, *J. Membr. Sci.*, **184**, 275-286, 2001.
25. Koros W.J., Flemig G.K., Jordan S.M., Kim T.H. and Hoehn H.H., Polymeric Membrane Materials for Solution-diffusion Based Permeation Separation, *Prog. Polym. Sci.*, **13**, 339-401, 1988.
26. Iljinich O.M., Semin G.L., Chertova M.V. and Zamaraev K.I.. Novel Polymeric Membranes for Separation of Hydrocarbons, *J. Membr. Sci.*, **66**, 1-8, 1992.
27. Okamoto K., Noborio K., Hao J., Tanaka K. and Kita H., Permeation and Separation Properties of Polyimide Membranes to 1,3-Butadiene and n-Butane, *J. Membr. Sci.*, **134**, 171-179, 1997.

28. Barre R.M. and Mallinder R., Solution and Diffusion of Gases in Poly(vinylchloride), *Polymer*, **8**, 321-331, 1967.
29. Koros W.J. and Fleming G.K., Membrane Based Gas Separation, *J. Membr. Sci.*, **83**, 1-80, 1993.
30. Koros W.J., Paul D.R. and Rosha A.A., Carbon Dioxid Sorption and Transport in Polycarbonate, *J. Polym. Sci., Polym. Phys. Ed.*, **14**, 687-702, 1976.
31. Paul D.R. and Koros W.J., Carbon Dioxide Sorption and Transport in Polycarbonate, *J. Polym. Sci., Polym. Phys. Ed.*, **14**, 675-685, 1976.
32. Paul D.R. and Ebralima O.M., Hydraulic Permeation of Liquids Through Swollen Polymeric Networks. 3. Generalized Correlation, *J. Appl. Polym. Sci.*, **19**, 2759-2771, 1975.
33. Kamaruddin H.D. and Koros W.J., Some Observations about the Application of Fick's First Law for Membrane Separation of Multicomponent Mixtures, *J. Membr. Sci.*, **135**, 147-159, 1997.
34. Taylor R. and Krishna R., *Multicomponent Mass Transfer*, John Wiley and Sons, New York, Chap. 2, 24, 1993.
35. Salem A. and Ghoreyshi A.A., Modelling of Water/Organic Vapor Dehydration by Glassy Polymer Membranes, *Desalination*, **193**, 25-34, 2006.
36. Ghoreyshi A.A., Fardadpour F.A. and Soltanieh M., A General Model for Multicomponent Transport in Nonporous Membranes based on Maxwell-Stefan Formulation, *Chem. Eng. Comm.*, **191**, 460-499, 2004.
37. Reid R.C., Prausnits J.M. and Poling B., *The Properties of Gases and Liquids*, 4th ed., McGraw Hill, New York, Chap. 6, 1987.
38. Treybal R.E., *Mass Transfer Operations*, 3rd ed., Mc Graw Hill, Tokyo, Chap. 2, 31, 2001.